

## ОБ УПРАВЛЯЕМОМ ДВИЖЕНИИ МАТЕРИАЛЬНОЙ ТОЧКИ С НЕФИКСИРОВАННОЙ МАССОЙ

А.А.Гукасян, А.Г.Матевосян

Ա.Ա. Ղուկասյան, Ա.Գ. Մատևոսյան

Հիմքոված գանգվածով նյութական կետի դեկավարվող շարժման մասին

Նյութարկված է շփրութեած գանգվածով նյութական կետի դեկավարվող շարժման մասին պահանագիրը: Կառուցված է դեկավարվող ֆունկցիան պինթեց տնօրութեած դիրքութեած մասնագիրը: Կորի դեպքութեած, որը պահանութեած է նյութական կետի ընդունակ ժապավի հարաբերայա սկզբանին գանգվածի բոլոր բայցարենի արժեների դեպքութեած մեջ նշանագիրը: Անդունք է դեկավարման կիրառման մասին պահանագիրը: Անդունք է դեկավարման մասին պահանագիրը:

A.A. Ghukasyan, A.G. Matevosyan

About of controlled movement of a material point of unset mass

Рассматривается управляемое движение материальной точки с нефиксированной массой с ограничением на управляющую функцию. Построена управляющая функция в форме синтеза при фиксированной линии переключения, которая обеспечивает приведение материальной точки в начало координат фазовой плоскости для всех допустимых значений масс с одной точкой переключения. Приводится кибернетическая схема управления и получены оценки времен приведения в терминальное состояние для различных значений масс материальной точки.

1. Постановка задачи управления. Рассмотрим управляемое движение материальной точки с одной степенью свободы. Уравнение движения точки имеет вид

$$m\ddot{x} = u \quad (1.1)$$

где  $x$  — обобщенная координата точки,  $u$  — управляющая сила.

Предполагается, что масса  $m$  точки нефиксирована, но находится в заданных пределах

$$m_0 \leq m \leq M \quad (1.2)$$

На управляющую силу наложено следующее ограничение:

$$|u| \leq 1 + \eta, \text{ где } \max \eta = \frac{M - m_0}{M + m_0} \quad (1.3)$$

Требуется построить оптимальное управление в форме синтеза  $u(x, \dot{x})$  такое, что при любом значении массы  $m$ , удовлетворяющем ограничениям (1.2), всякая траектория движения точки приводилась в начало координат фазового пространства при фиксированной линии переключения, построенной для массы  $m'$  (не нарушая общности, можно считать  $m' = (M + m_0)/2$ ). Требуется также построить управляющую функцию с минимальным числом точек переключений и, при возможности, сохранить ограничение  $|u| \leq 1$ .

2. Синтез задачи управления. Исследуем сначала задачу оптимального приведения материальной точки в начало координат при ограничении

$|u| \leq 1$  с фиксированной массой  $m'$ . Известно [1], что для заданной массы синтез оптимального по быстродействию управления имеет форму

$$u(x, \dot{x}) = \begin{cases} -1 & \text{при } \dot{x} > 0 \text{ и } x \geq -m'\dot{x}^2/2 \\ -1 & \text{при } \dot{x} < 0 \text{ и } x > m'\dot{x}^2/2 \\ 1 & \text{при } \dot{x} > 0 \text{ и } x < -m'\dot{x}^2/2 \\ 1 & \text{при } \dot{x} < 0 \text{ и } x \leq m'\dot{x}^2/2 \end{cases} \quad (2.1)$$

Этот закон управления полностью определяется кривой переключений  $x = \pm m'\dot{x}^2/2$ . Полное время  $T$  приведения материальной точки массы  $m'$ , управляемой по закону (2.1), из начального состояния  $(x_0, \dot{x}_0)$  до терминального состояния  $(0,0)$  равно

$$T = m'\dot{x}_0 + 2\sqrt{m'C_{m'}} = m'\dot{x}_0 + 2\sqrt{m'x_0 + m'^2\dot{x}_0^2/2}$$

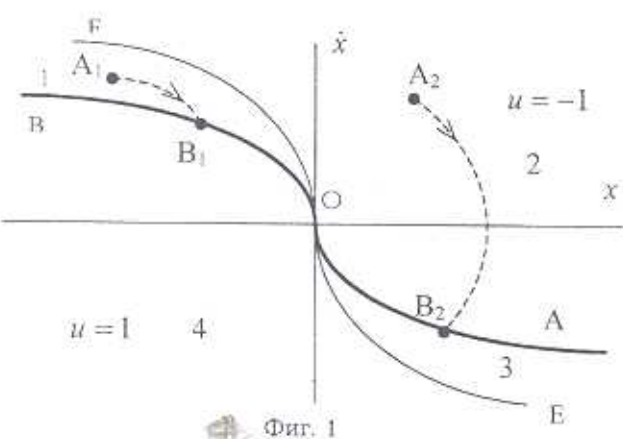
$$\text{при } C_{m'} = x_0 + \dot{x}_0^2 m'/2 \geq 0 \quad (2.2)$$

$$T = -m'\dot{x}_0 + 2\sqrt{-m'C_{m'}} \text{ при } C_{m'} = x_0 - \dot{x}_0^2 m'/2 \leq 0 \quad (2.3)$$

2.1. Исследуем поведение системы (1.1) в случае, когда масса  $m$  точки не совпадает со значением  $m'$ . Предположим сначала, что масса точки  $m$  меньше параметра кривой переключений, т.е.

$$m_0 \leq m < m' \quad (2.4)$$

Фазовыми траекториями движения точки массы  $m$  при ограничении  $|u| \leq 1$  является семейство парабол  $x = \pm m\dot{x}^2/2 + C$  [1]. На фиг.1 жирной линией изображена кривая переключений, отвечающая массе  $m'$  и ограничению  $|u| \leq 1$ , а тонкой сплошной линией — отвечающая массе  $m$  при ограничении  $|u| \leq 1$ .



Пусть сначала начальная точка находится выше кривой переключений АОВ (фиг.1). Траектория движения здесь состоит из двух ветвей парабол. В первом случае, когда начальная точка  $A_1(x_0, \dot{x}_0)$  находится между линиями ОВ и ОF, то при сохранении линии переключения АОВ точка должна двигаться по параболе семейства

$$x = -m\dot{x}^2/2 + C \quad (C = x_0 + \dot{x}_0^2 m'/2 \leq 0) \text{ при } u = -1 \text{ до точки пересечения}$$

$B_1$  с ординатой  $\dot{x}_1 = (2C/(m - m'))^{1/2}$ . Далее, если не изменить величину управляющей функции  $u$ , возможности которой мы имеем (1.3), то точка

может двигаться до начала координат вдоль линии переключения В<sub>1</sub>О при скользящем режиме управления (фиг. 1). Избегая многочисленных точек переключения на участке траектории В<sub>1</sub>О, в рамках ограничения (1.3),

управляющую функцию определим в виде  $u = -1 - \eta$ , где  $\eta = \frac{m - m'}{m'} < 0$ .

При этом линия В<sub>1</sub>О является траекторией движения точки с массой  $m$  (2.4). Аналогично можно построить закон управления и фазовые траектории движения точки, когда начальная точка  $(x_0, \dot{x}_0)$  находится в областях 2,3,4 (фиг. 1).

Синтез оптимального по времени управления с одной точкой переключения при сохранении линии переключения А<sub>1</sub>В имеет вид

$$u(x, \dot{x}) = \begin{cases} -1 & \text{при } \dot{x} > 0 \text{ и } x > -m'\dot{x}^2/2 \\ -1 & \text{при } \dot{x} < 0 \text{ и } x > m'\dot{x}^2/2 \\ -(1 + \eta) & \text{при } \dot{x} > 0 \text{ и } x = -m'\dot{x}^2/2 \\ 1 & \text{при } \dot{x} < 0 \text{ и } x < m'\dot{x}^2/2 \\ 1 & \text{при } \dot{x} > 0 \text{ и } x < -m'\dot{x}^2/2 \\ (1 + \eta) & \text{при } \dot{x} < 0 \text{ и } x = m'\dot{x}^2/2 \end{cases} \quad (2.5)$$

где  $\eta = \frac{m - m'}{m'} < 0$ .

Так как управление происходит по обратной связи, то предполагается, что связь имеет возможность в каждый момент времени определить как фазовое состояние движения, так и массу материальной точки (фиг. 3). Следовательно, в формуле (2.5) значение  $\eta$  считается известным.

Время движения между точками А<sub>1</sub> и В<sub>1</sub> равно  $t_1 = m(\dot{x}_0 - \dot{x}_1) = m\left(\dot{x}_0 - \sqrt{2C/(m - m')}\right)$ , а от точки В<sub>1</sub> до начала координат  $-t_2 = m'\dot{x}_1 = m'\left(\sqrt{2C/(m - m')}\right)$ .

Следовательно, полное время движения материальной точки массы  $m$  из начального состояния  $(x_0, \dot{x}_0)$  до терминального состояния  $(0,0)$  при управлении (2.5) равно

$$T = t_1 + t_2 = m\dot{x}_0 + \sqrt{2(m - m')C}, \quad C = x_0 + \dot{x}_0^2 m/2 \leq 0 \quad (2.6)$$

Аналогично определяются полные времена движения материальной точки в случае, когда траектория движения начинается в областях 2,3,4 (фиг. 1), соответственно

$$T = m\dot{x}_0 + \sqrt{2(m + m')C}, \quad C = x_0 + \dot{x}_0^2 m/2 \geq 0 \quad (2.7)$$

$$T = -m\dot{x}_0 + \sqrt{2(m' - m)C}, \quad C = x_0 - \dot{x}_0^2 m/2 \geq 0 \quad (2.8)$$

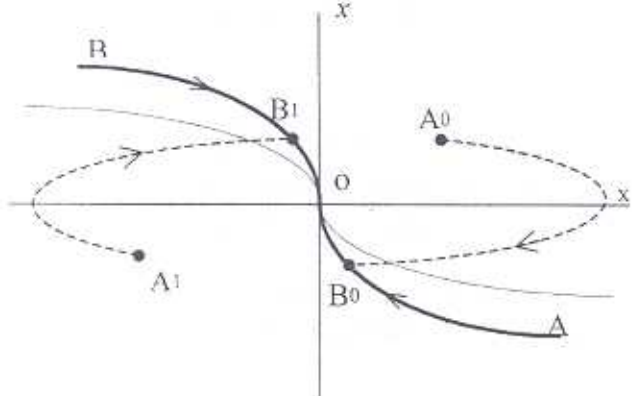
$$T = -m\dot{x}_0 + \sqrt{-2(m + m')C}, \quad C = x_0 - \dot{x}_0^2 m/2 \leq 0 \quad (2.9)$$

2.2. Предположим теперь, что масса материальной точки больше параметра кривой переключений, то есть  $m' < m < M$ . При ограничении

$|u| \leq 1$  и законе

управления (2.1) траектория движения материальной точки массы  $m$  представляет собой спираль, содержащую бесконечное число витков [2]. Чтобы в законе управления переключение происходило не более одного раза, управляющая функция должна принять значения  $|u| = 1 + \eta$  (1.3), где

$$\eta = \frac{m - m'}{m'} > 0, \text{ после}$$



Фиг. 2

выхода материальной точки на кривую переключения  $AOB$ .

Не нарушая общности, можно считать что начальная точка траектории находится выше линий переключений  $AOB$  фиг.2 (жирная линия). Траектория движения точки здесь состоит из двух участков, от начальной точки  $A_0(x_0, \dot{x}_0)$  по параболе  $x = -m\dot{x}^2/2 + C_0$  (фиг.2, штриховая линия), где  $C_0 = x_0 + \dot{x}_0^2 m/2 > 0$  до точки пересечения  $B_0(\dot{x}_1 = -(2C_0/(m+m'))^{1/2})$  с кривой переключения  $AOB$ , а затем до начала координат — по линии переключения  $B_0O$ .

Время движения между точками  $A_0$  и  $B_0$  равно  $t_1 = m(\dot{x}_0 - \dot{x}_1) = m(\dot{x}_0 + \sqrt{2C_0/(m+m')})$ , а от точки  $B_0$  до начала координат равно  $t_2 = -m'\dot{x}_1$ .

Следовательно, полное время  $T$  движения материальной точки массы  $m$ , управляемой по закону (2.5), где  $\eta = \frac{m - m'}{m'} > 0$ , из начального состояния  $(x_0, \dot{x}_0)$  до терминального состояния  $(0,0)$  равно

$$T = m\dot{x}_0 + \sqrt{2(m+m')C_0}, \quad C_0 = x_0 + \dot{x}_0^2 m/2 > 0 \quad (2.10)$$

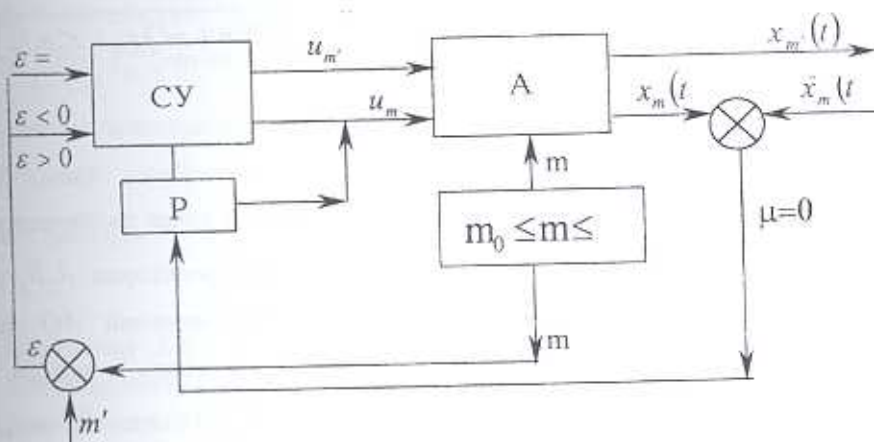
В случае, когда начальная точка  $(x_0, \dot{x}_0)$  находится ниже линии переключений  $AOB$ , то время движения определяется следующим образом:

$$T = -m\dot{x}_0 + \sqrt{-2(m+m')C_0}, \quad C_0 = x_0 - \dot{x}_0^2 m/2 < 0 \quad (2.11)$$

Кибернетическую схему управления материальной точки с нефиксированной массой по закону (2.5) можно представить в виде (фиг.3).

С практической точки зрения такие задачи могут возникнуть при управлении механических систем, перемещающих грузы, массы которых могут меняться в заданных пределах и система управления которых оптимальна по быстродействию для конкретного значения массы

перемещаемого груза. Подобные задачи при разных постановках и методах исследования рассмотрены в таких работах, как [2-4].



$\tilde{x}_m(t)$  — кривая переключений, отвечающая параметру  $m'$ ;  $x_m(t)$  — траектория движения,  $\mu = \tilde{x}_m(t) - x_m(t)$ ,  $\varepsilon = m - m'$ .

Фиг. 3

3. Сравнение времен движения для различных значений массы материальной точки. Обозначим через  $T_m^{m'}$  время движения точки массы  $m$  из начального состояния  $(x_0, \dot{x}_0)$  до начала координат при законе управления (2.5). Если масса  $m$  материальной точки совпадает со значением  $m'$ , то управление в форме синтеза (2.1) обеспечивает ее приведение в терминальное состояние  $(0,0)$  за минимальное время. Время движения в этом случае будет

$$T_m^{m'} = m' \dot{x}_0 + 2\sqrt{m' C_{m'}} , \quad C_{m'} = x_0 + \dot{x}_0^2 m'/2 \quad (3.1)$$

Если же масса  $m$  не совпадает с расчетным значением  $m'$ , то справедливо следующее утверждение [2]:

$$T_m^{m'} < T_m^{m'} \text{ при } m < m' \quad (3.2)$$

Если масса  $m$  материальной точки больше значений  $m'$ , то справедливы следующие леммы.

Лемма 1. Пусть  $m' < m < M$ . Тогда

$$T_m^{m'} < T_m^{m'} < T_M^{m'} \quad (3.3)$$

Доказательство. Согласно формуле (2.10), имеем

$$T_M^{m'} = M \dot{x}_0 + \sqrt{2(M + m') C_M} , \quad C_M = x_0 + \dot{x}_0^2 M / 2 > 0$$

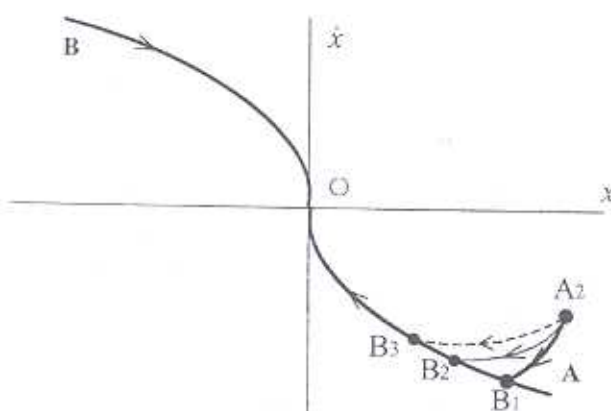
$$T_m^{m'} = m \dot{x}_0 + \sqrt{2(m + m') C_m} , \quad C_m = x_0 + \dot{x}_0^2 m / 2 > 0$$

Поскольку  $C_M$  и  $C_m$  неотрицательны, то при  $\dot{x}_0 > 0$  справедливы следующие соотношения:

$$\begin{aligned}
 T_M^{m'} &= M\dot{x}_0 + \sqrt{2(M+m')\left(x_0 + \dot{x}_0^2 M/2\right)} > m\dot{x}_0 + \sqrt{2(m+m')\left(x_0 + \dot{x}_0^2 m/2\right)} > \\
 &> m\dot{x}_0 + \sqrt{2(m+m')\left(x_0 + \dot{x}_0^2 m/2\right)} = T_m^{m'} > m'\dot{x}_0 + \sqrt{2(m+m')\left(x_0 + \dot{x}_0^2 m/2\right)} > \\
 &> m'\dot{x}_0 + 2\sqrt{m'\left(x_0 + \dot{x}_0^2 m'/2\right)} = T_{m'}^{m'}
 \end{aligned}$$

Следовательно,  $T_M^{m'} > T_m^{m'} > T_{m'}^{m'}$ .

Если  $\dot{x}_0 < 0$ , то траектория движения каждой из точек разбивается на два участка. Обозначим через  $B_2$  точку, в которой траектория  $A_2B_2$  движения точки массы  $m$  выходит на кривую переключений  $AO$  фиг.4 (тонкая сплошная линия). От начальной точки  $A_2$  точка с массой  $m'$  сначала движется по дуге параболы  $x = m'\dot{x}^2/2 + C$  до точки  $B_1$  (жирная линия), а затем — по кривой переключений до точки  $B_2$ . Так как траектория движения точки массы  $m'$  лежит ниже траектории точки массы  $m$ , то это означает, что она движется с большей по модулю скоростью и, следовательно, быстрее достигает состояния  $B_2$ . Второй участок из состояния  $B_2$  до начала координат обе точки проходят одинаково. Поэтому полное время движения материальной точки массы  $m'$  меньше, чем время



Фиг. 4

движения точки массы  $m$ . Такая же ситуация справедлива для точек массы  $m$  и  $M$  (фиг.4 — тонкая сплошная и штрихованная линии). Лемма доказана.

Лемма 2. Пусть  $m' < m'' < M$ . Тогда  $T_M^{m'} < T_M^{m''}$  (3.4)

Доказательство. Согласно формуле (2.10), имеем

$$T_M^{m'} = M\dot{x}_0 + \sqrt{2(M+m')\left(x_0 + \dot{x}_0^2 M/2\right)}$$

$$T_M^{m''} = M\dot{x}_0 + \sqrt{2(M+m'')\left(x_0 + \dot{x}_0^2 M/2\right)}, \quad x_0 + \dot{x}_0^2 M/2 > 0$$

Следовательно, по условию леммы имеет место  $T_M^{m'} < T_M^{m''}$ . Лемма доказана.

Лемма 3.  $T_M^{m_0} = \min_{m_0 \leq m' \leq M} \max_{m_0 \leq m \leq M} T_m^{m'}.$

Доказательство. Из утверждений (3.2) и леммы 1 вытекает равенство

$T_M^{m'} = \max_{m_0 \leq m \leq M} T_m^{m'},$  то есть при законе управления (2.5) с любым параметром  $m',$  удовлетворяющим ограничению (1.2), дальше всего движется точка наибольшей допустимой массы  $M.$  Согласно лемме 2  $\min_{m_0 \leq m' \leq M} T_m^{m'} = T_M^{m_0}.$

Лемма доказана.

#### ЛИТЕРАТУРА

1. Понtryгин Л.С., Болтянский В.Г., Гамкелидзе Р.В., Минченко Е.Ф. Математическая теория оптимальных процессов. М.: Наука, 1983.
2. Ананьевский И.М. Игровая задача управления материальной точкой неизвестной массы // Изв. РАН. Теория и системы управления. 2000. №4. С.19-27.
3. Ананьевский И.М. Два подхода к управлению механической системой с неизвестными параметрами// Изв. РАН. Теория и системы управления. 2001. №2. С.39-47.
4. Ананьевский И.М Управление двухмассовой системой с неизвестными параметрами. // Изв. РАН. Теория и системы управления. 1998. №2. С.72-82.

Ереванский государственный  
университет

Поступила в редакцию  
16.07.2001